

# 峪耳崖金矿成矿流体特征研究

武晗, 胡建中, 陈茜

中国地质大学(北京)科学研究院, 北京, 100083

峪耳崖金矿位于宽城满族自治县峪耳崖镇, 矿区面积  $1.6 \text{ km}^2$ 。研究区从大地构造上属于华北地台北缘的燕山台褶带。矿区主要出露地层为中元古界长城系高于庄组, 主要为中厚层燧石条带白云岩、含锰页岩、含燧石结核白云岩; 区域构造以断裂为主, 早期 EW 向兴隆—喜峰口—青龙深大断裂与晚期 NE 向喜峰口—下板城—凌源大断裂构成了区内基本的构造骨架, 控制了区域中酸性岩浆岩的侵入和分布(肖振等, 2010)。区内岩浆活动频繁而强烈, 从太古代—中生代, 各类岩体均有产出, 与金矿关系密切的为燕山期的中酸性岩浆岩, 峪耳崖花岗岩是本区的控矿岩体, 岩株侵位于高于庄组地层中, 其出露面达  $0.59 \text{ km}^2$ 。矿石主要为低硫化含金石英脉型, 主要分布于岩体之中, 但岩体外围接触带, 甚至围岩裂隙中亦有矿脉发育。表明构造裂隙控矿明显, 同时也表明成矿是岩浆侵位之后的事件(王自力等, 2008)。

## 1 流体包裹体岩相学研究

根据显微镜下对矿区流体包裹体的观察将矿区原生包裹体确定为  $\text{H}_2\text{O}-\text{NaCl}$  型。室温条件下观察相态特征后发现流体包裹体相态以气液两相(V+L)为主, 其中包裹体几乎全部为富液相包裹(即 L 型包裹体, 气相分数小于 50%, 多为 5%~40%之间), 存在少数富气相包裹体(即 V 型包裹体, 气相分数大于 50%), 上述两类包裹体个体尺寸相差悬殊(包裹体尺寸主体为  $2\text{--}8 \mu\text{m}$ ); 此外还能见到纯气相及纯液相包裹体, 此类包裹体个体尺寸一般较小; 未见有 S 型包裹体的存在(含子晶的包裹体)。由于包裹体普遍偏小, 因此  $\text{CO}_2$  包裹体双眼皮结构不甚明显, 但某些包裹体的测温数据比较符合  $\text{CO}_2$  包裹体的温度特征(在  $-56.3^\circ\text{C}$  左右、 $7^\circ\text{C}$  左右以及  $32^\circ\text{C}$  左右均有特征性变化, 即包裹体存在初溶、笼行物消失及部分均一等

表 1 峪耳崖金矿流体包裹体显微测温结果

样品编号	主矿物	大小 ( $\mu\text{m}$ )	数量	均一温度 ( $^\circ\text{C}$ )		冰点温度 ( $^\circ\text{C}$ )		盐度 ( $\% \text{NaCl}_{\text{eq}}$ )	
				范围	平均	范围	平均	范围	平均
YK302-1	石英	2.6~6.8	15	144~305	225	-5.8~-0.2	-3.2	0.35~8.94	5.02
YK303-1	石英	2.2~4.7	16	132~237	170	-6.6~-0.9	-3.6	1.56~9.98	5.79
YK305-1	石英	1.5~4.6	16	135~274	165	-5.3~-0.3	-3.4	0.53~8.27	5.39
YK305-7	石英	2.8~17.6	18	139~261	181	-9.5~-1.5	-5.3	1.11~13.44	7.25
YK306-11	石英	1.5~6.1	15	121~192	162	-4.8~-0.4	-3.3	0.7~7.58	5.3
YK308-13	石英	3.2~5.9	18	131~245	174	-8.11~-1.1	-3.7	1.9~8.94	5.9
YK308-14	石英	1.3~4.8	15	136~214	166	-4.5~-1.2	-2.8	2.06~7.15	4.6
YK309-11	石英	2.4~9.7	20	125~312	193	-14.5~-2.8	-7.7	4.63~18.67	9.7
YK309-13	石英	3.6~10.8	3	189~208	196	-8.1~-1.7	-5.1	2.89~11.83	7.8

注: 本文为全国危机矿山接替资源找矿专项项目(编号 20089936) 的成果。

收稿日期: 2013-03-13; 改回日期: 2013-03-27; 责任编辑: 章雨旭。

作者简介: 武晗, 男, 1987 年生。硕士, 构造地质学专业。 Email:wutianjiangming@163.com。

温度特征), 因此确定本金矿石英脉中有  $\text{CO}_2$  包裹体的存在, 但数量比较少。上述各类型包裹体加热后大部分均一为液相。峪耳崖包裹体形态多呈近圆形、椭圆状, 也有不规则状, 呈群状、面状及孤立分布, 尺寸在  $1.2\sim8.7 \mu\text{m}$  之间, 个别包裹体尺寸达  $17.6 \mu\text{m}$ , 详见表 1。

## 2 流体包裹体显微测温研究

流体包裹体显微测温是在中国地质大学(北京)地质过程与矿产资源国家重点实验室流体包裹体实验室完成, 在实验中先进行冷冻测温, 在包裹体完全冷冻后开始升温。测得包裹体的冰点温度( $T_m$ , ice)范围为  $-0.2\sim-14.5^\circ\text{C}$ , 主体范围为  $-1.1\sim-8.7^\circ\text{C}$ , 均值为  $-3.9^\circ\text{C}$ 。包裹体的均一温度( $T_h$ , TOT)范围为  $107.9\sim312.6^\circ\text{C}$ , 主体范围为  $121.3\sim291.6^\circ\text{C}$ , 均值为  $178.5^\circ\text{C}$ ; 计算得包裹体的盐度为  $1.9\%\sim12.7\%$ , 均值为  $6.2\%$ , 冰点及盐度变化范围较大, 包裹体的密度  $\rho$  变化范围为  $0.79\sim0.97\text{g/cm}^3$ 。此外获得主成矿期的成矿压力( $P$ )范围为  $58.4\sim240.7\text{MPa}$ , 采用静岩压力还原成矿深度得出成矿深度为  $2.40\sim9.78\text{ km}$ , 平均深度为  $6.09\text{ km}$ 。总体而言峪耳崖成矿流体性质为中—低温、低盐度, 并且峪耳崖金矿为浅—中成矿床。

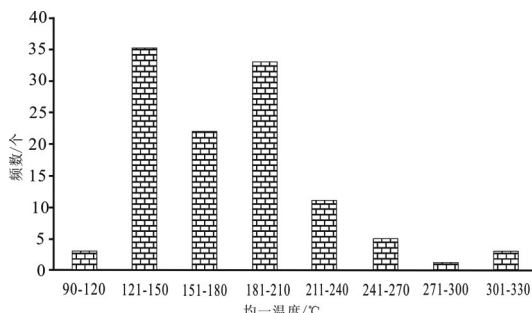


图 1 鸽子岭矿床矽卡岩分带剖面图

## 3 激光拉曼分析

如图 2 所示, 在拉曼光测试谱图上除了寄主矿物石英的特征峰外, 普遍出现  $\text{CO}_2$  特征峰( $1390\text{cm}^{-1}$ )和宽泛的液相  $\text{H}_2\text{O}$  峰( $3447\text{cm}^{-1}$ ), 除此之外在包裹体中还检测到有  $\text{CH}_4$ ( $2910\text{ cm}^{-1}$ )的存在, 表明成矿流体为还原性流体(段士刚等, 2010)。

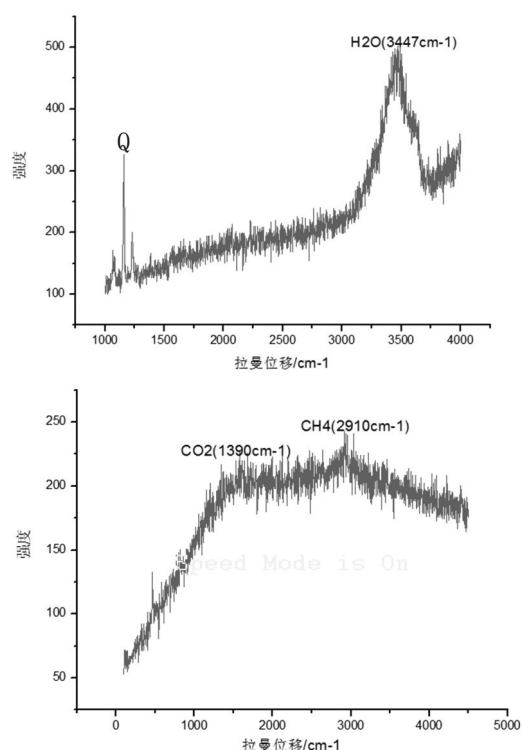


图 2 峪耳崖金矿包裹体激光拉曼测试光谱

## 4 总结

通过上述测试我们得出峪耳崖成矿流体为中—低温、低盐度且变化范围较大的  $\text{NaCl}-\text{H}_2\text{O}$  体系流体, 且成矿流体物质以  $\text{H}_2\text{O}$ 、 $\text{CO}_2$  及  $\text{CH}_4$  为主, 表明成矿流体为还原性流体, 成矿环境可能为还原环境。

## 参考文献/References

- 肖振, 魏峰, 等. 2010. 河北峪耳崖金矿成矿预测及找矿方向[J]. 地质找矿论丛, 25(3): 217-225.
- 王自力, 牛树银, 等. 2008. 冀东峪耳崖金矿床成矿物质来源探讨[J]. 地质找矿论丛, 23(1): 36-42.
- 段士刚等. 2010. 河南栾川百炉沟铅锌矿床地质、流体包裹体和稳定同位素地球化学[J]. 矿床地质, (5), 818-819.